

Fig. 22-8. Curvas del coeficiente de sobrecargas admisibles del transformador k_{sob} en función del tiempo de sobrecarga n y del coeficiente de relleno del diagrama de carga k_{rell}

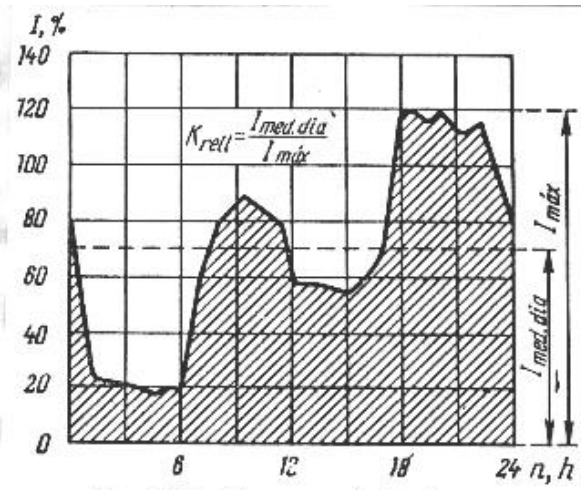


Fig. 22-7. Diagrama diario de carga

$$k_{\text{sob}} = I_{\text{máx}} / I_n > 1$$

$$n = \frac{\int_0^{24} idt}{24I_{\text{máx}}} = \frac{I_{\text{med.dia}}}{I_{\text{máx}}}$$

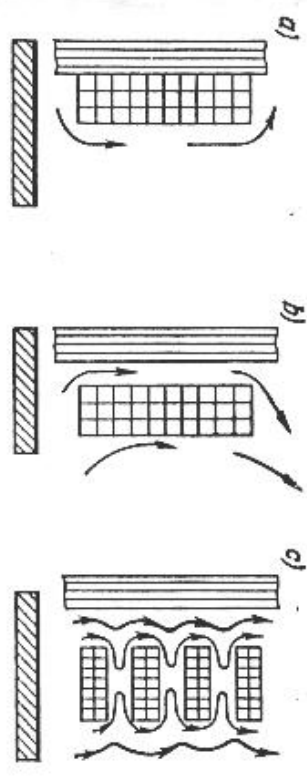
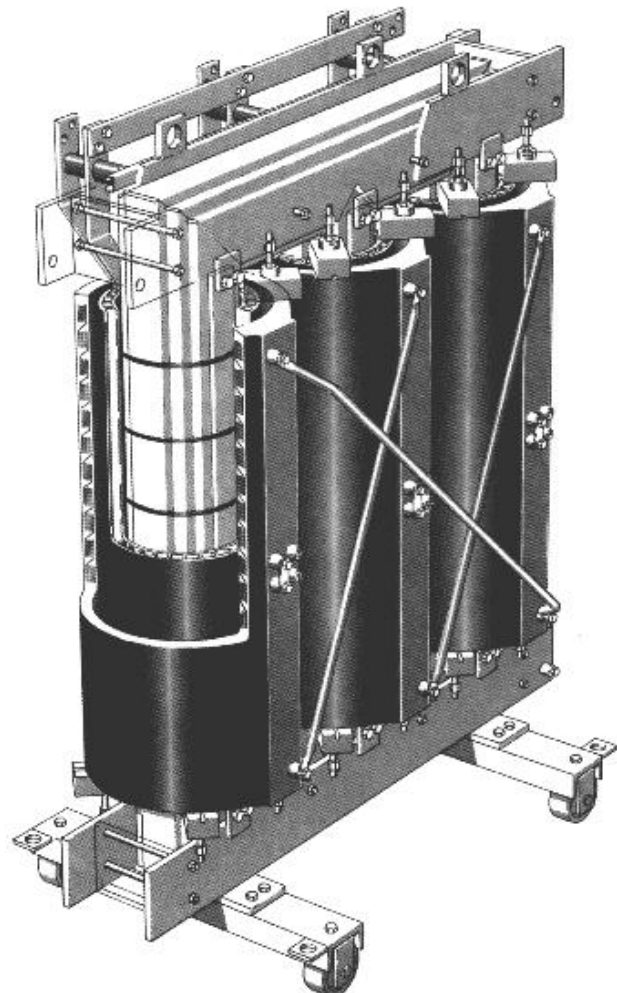


Fig. 22-4. Superficies de enfriamiento de diferentes tipos de devanado



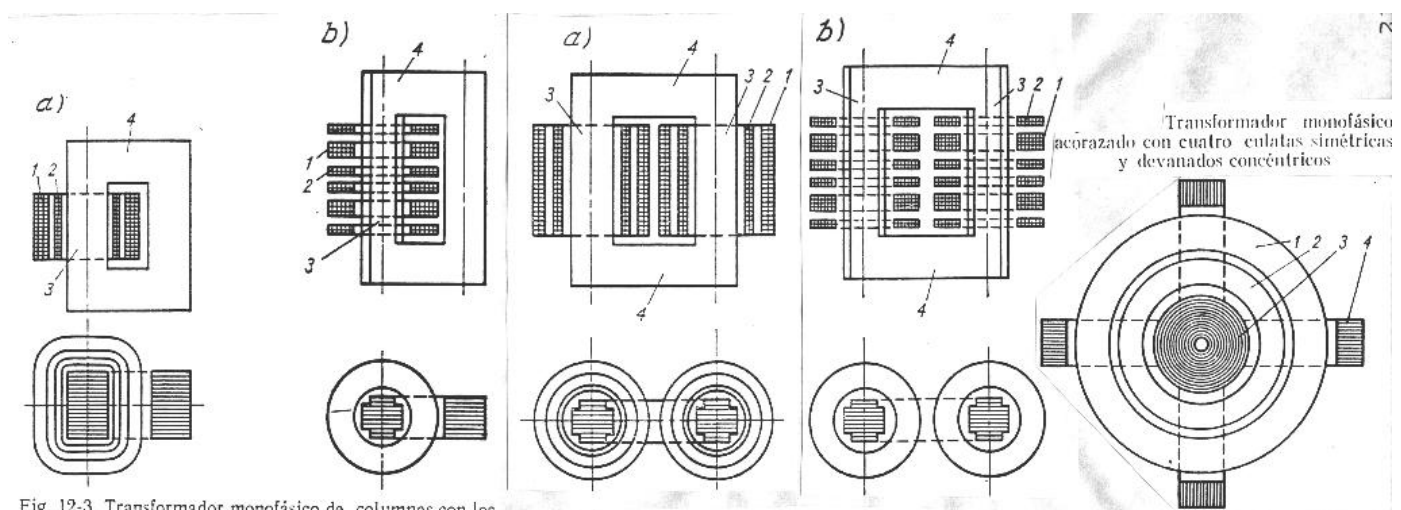
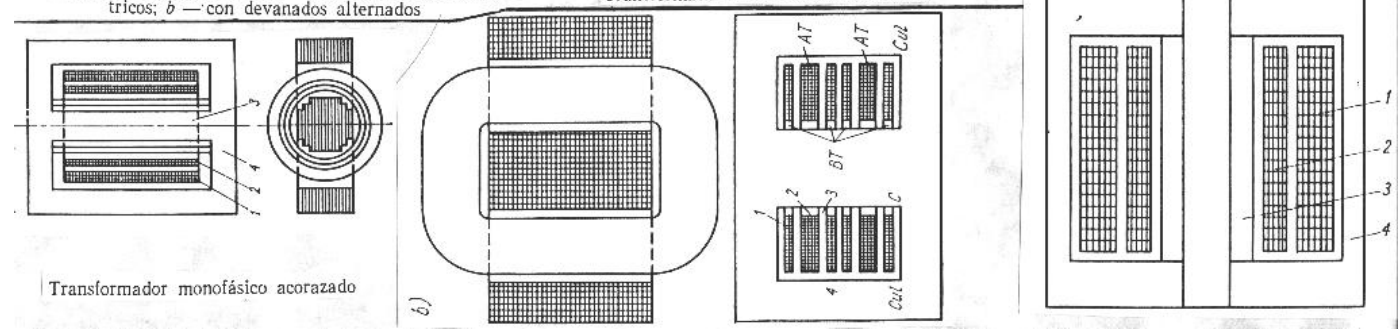
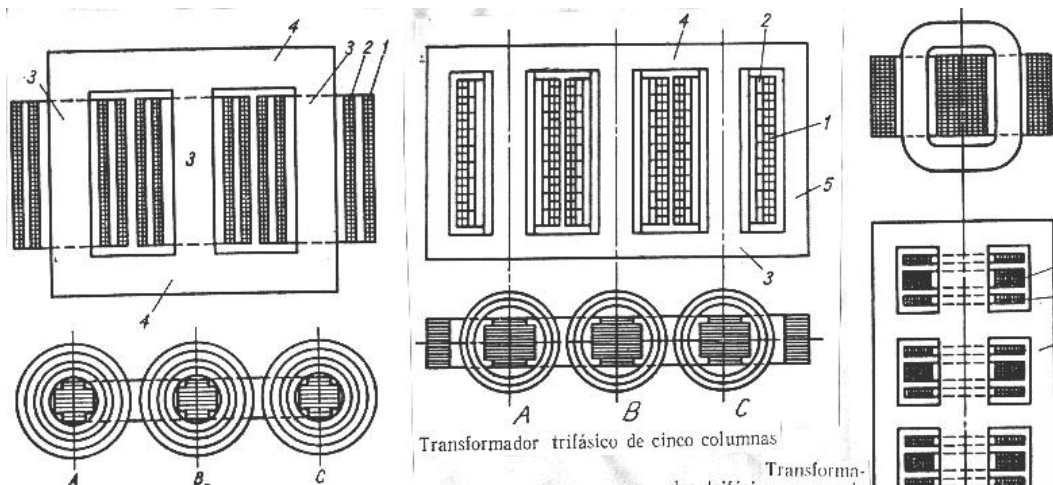


Fig. 12-3. Transformador monofásico de columnas con los devanados en una columna: a — con devanados concéntricos; b — con devanados alternados

Transformador monofásico de columnas:



Transformador monofásico acorazado



Transformador trifásico de cinco columnas

Transformador trifásico acorazado con devanados alternados

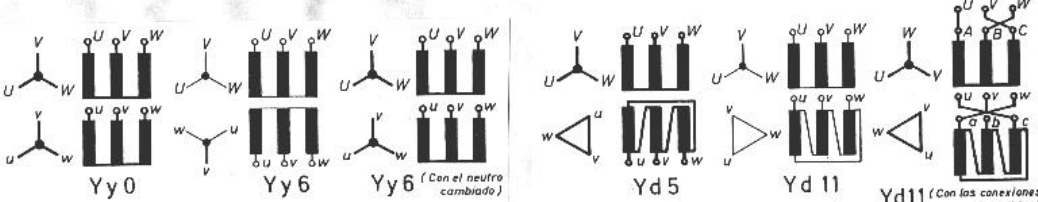


Fig. 628.—Acoplamiento en paralelo de transformadores con grupos de conexión Y y 0 e Y y 6, mediante cambios de conexiones en el neutro del transformador Y y 6.

Fig. 629.—Acoplamiento en paralelo de transformadores con grupos de conexión Y d 5 e Y d 11, mediante inversión de conexiones en los bornes del transformador Y d 11.

Fig. 22-2. Curva de distribución de la temperatura en el interior del núcleo

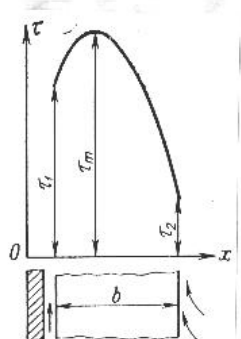


Fig. 22-3. Curva de distribución de la temperatura en el interior del devanado

